

بررسی اثر نرخ برش بر ویسکوزیته دینامیکی نانولوله کربنی چند جداره / اکسید روی - روغن موتوور در دماها و کسرهای حجمی مختلف

میثم اسدی^۱، سیف الله سعدالدین^{۲*}

۱- گروه مهندسی مکانیک، واحد سمنان، دانشگاه آزاد اسلامی، سمنان، ایران

۲- گروه مهندسی مکانیک، واحد سمنان، دانشگاه آزاد اسلامی، سمنان، ایران

* سمنان، ۳۵۱۳۱-۳۷۱۱۱، s_sadodin@semnaniau.ac.ir

چکیده

در پژوهش حاضر به بررسی اثر نرخ برش بر ویسکوزیته دینامیکی نانولوله کربنی چندجداره / اکسید روی - روغن موتوور پرداخته شده است. نانوسیال مورد مطالعه با استفاده از روش دومرحله‌ای و بدون استفاده از هیچ‌گونه پایدار کننده در کسرهای حجمی مختلف (۰/۰۵، ۰/۱ و ۱ درصد) بعنوان نمونه آزمایشگاهی تولید شد. کلیه آزمایشات در محدوده دمایی بین ۵ تا ۵۵ درجه سانتی‌گراد و در نرخ‌های برش بین ۵۰ تا ۱۰۰۰ دور بر دقیقه انجام شده است. نتایج آزمایشات انجام شده بر روی نانوسیال مورد مطالعه نشان می‌دهد که گرچه سیال بایه در تمامی دماها و نرخ‌های برش مورد مطالعه رفتاری نیوتی از خود نشان می‌دهد، نانوسیال تولید شده در دماهای ۵ و ۱۵ درجه سانتی‌گراد، رفتاری غیرنیوتی و در دماهای ۲۵، ۳۵، ۴۵ و ۵۵ درجه سانتی‌گراد، رفتار نیوتی از خود نشان می‌دهد.

کلیدواژه‌ان

نانوسیال، ویسکوزیته دینامیکی، نرخ برش، نانولوله کربنی چند جداره، اکسید روی، روغن موتوور

An Experimental Investigation on the Effects of Shear Rate on Dynamic Viscosity of MWCNT-ZnO/Engine Oil on Different Temperatures and Solid Concentrations

Meisam Asadi¹, Seyfolah Saedodin^{2*}

1- Department of Mechanical Engineering, Semnan Branch, Islamic Azad University, Semnan, Iran

2- Department of Mechanical Engineering, Semnan Branch, Islamic Azad University, Semnan, Iran

* P.O.B. 35131-37111 Semnan, Iran, s_sadodin@semnaniau.ac.ir

Abstract

The aim of the present study is to investigate the effects of shear rate on dynamic viscosity of MWCNT-ZnO/engine oil hybrid nanofluid. Using two-step method and without using any surfactant, the studied nanofluid has been produced in different solid concentration (0.125, 0.5, and 1%) as the experimental sample. All the experiments were conducted in the temperatures ranging from 5 to 55°C and shear rates ranging from 50 to 1000 RPM. Based on the experimental results, although the base fluid showed Newtonian behavior in all the studied temperatures and shear rates, in the temperatures of 5 and 15°C, the studied nanofluid shows Non-Newtonian behavior while it shows Newtonian behavior in the temperatures of 25, 35, 45, and 55°C.

Keywords

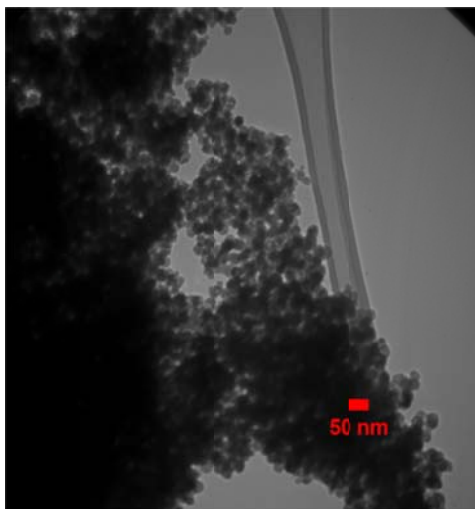
Nanofluid, Dynamic Viscosity, Shear Rate, MWCNT, ZnO, Engine Oil

۱- مقدمه

نرخ برش یکی از پارامترهایی است که بر ویسکوزیته دینامیکی نانوسیالات تاثیرگذار می‌باشد. هنگامی که یکی از لایه‌های سیال نسبت به لایه‌ی مجاورش دارای حرکت نسبی باشد، انتقال اندازه‌ی حرکت مولکولی باعث انتقال اندازه حرکت از یک قسمت به قسمت دیگر می‌شود. اما در مقابل این حرکت مقاومتی وجود دارد، به طوری که برای حرکت سیال نیاز به اعمال نیرو یا همان تنفس برشی می‌باشد. نانوسیالات در مقابل نیروی برشی رفتارهای متفاوتی دارند. رفتار سیال در برابر نرخ برش اعمال شده، یکی از مهمترین عوامل در تعیین نوع سیال می‌باشد. سیالات با توجه به رفتاری که در مقابل اعمال تنفس برشی از خود نشان می‌دهند، به دو دسته‌ی سیالات نیوتی و غیرنیوتی تقسیم بندی می‌شوند. از این رو پژوهش‌های زیادی بر روی ویسکوزیته دینامیکی نانوسیالات انجام شده است.

يو و همکاران [۱] به بررسی ویسکوزیته دینامیکی نانوسیال اتیلن گلیکول- اکسید روی پرداختند. نتایج آن‌ها نشان داد که نانوسیال در کسرهای حجمی پایین رفتار نیوتی و در کسرهای حجمی بالا به دلیل وجود

نانوذرات و تشکیل نانوخوشه‌ها رفتار غیرنیوتی دارد. در پژوهشی دیگر لی وهمکاران [۲] نانوسیال اتیلن گلیکول- اکسید روی را مورد بررسی قرار دادند. نتایج آن‌ها نشان داده که رفتار نانوسیال در تمامی کسرهای حجمی نیوتی می‌باشد. کوله و دی [۳] در مطالعه‌ای نانوسیال ضدیخ- اکسید آلومینیوم را مورد بررسی قرار دادند و نتیجه گرفتند که رفتار نانوسیال با افزودن نانوذرات در کسرهای حجمی مورد مطالعه نیوتی می‌باشد. باو و همکاران [۴] نیز به بررسی نانوسیال آب- نانولوله کربنی تک جداره پرداخته و مشاهده کردند که رفتار سیال پایه در دماهای مختلف نیوتی می‌باشد، اما با افزودن نانوذرات نانولوله کربنی تک جداره رفتار نانوسیال در دماهای پایین غیرنیوتی و در دماهای بالا نیوتی می‌باشد. در یک بررسی آزمایشگاهی دیگر همت و همکاران [۵] به بررسی رفتار نانوسیال هیبریدی آب- نقره/ اکسید منیزیم پرداختند و مشاهده کردند که رفتار نانوسیال مورد مطالعه در تمامی کسرهای حجمی و دماها، نیوتی می‌باشد. در پژوهشی دیگر فواک و همکاران [۶] به بررسی ویسکوزیته دینامیکی نانوسیال آب- نانولوله کربنی چند جداره



شکل ۲ تصویر TEM نانوذرات اکسید روی

پس از تولید نانوسيال پایداری نانوسيال مورد بررسی قرار گرفت. بدین منظور نمونه‌های تولید شده به مدت یک هفته به صورت چشمی مورد بررسی قرار گرفتند. نتایج بدست آمده پایداری مناسب نمونه‌ها را نشان داد. در شکل‌های ۱ و ۲ تصویر TEM نانوذرات مورد استفاده نشان داده است. در شکل ۳ نیز تصویری از نمونه‌های تولید شده در کسرهای حجمی مختلف و سیال پایه نشان داده است.



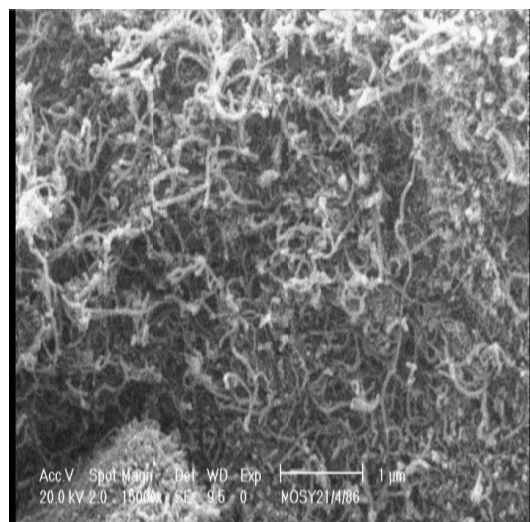
شکل ۳ نمونه‌های تولید شده در کسرهای حجمی مختلف و سیال پایه

پرداختند. نتایج آنها حاکی از نیوتونی بودن نانوسيال در کسرهای حجمی پایین و غیرنیوتونی بودن رفتار سیال در کسرهای حجمی بالا باشد. سینگ و همکاران [۷] به بررسی رفتار نانوسيال اتیلن گلیکول- نانولوله کربنی چند جداره پرداختند و مشاهده نمودند که با افزودن نانوذرات به سیال پایه رفتار نانوسيال اتیلن گلیکول- هیدروکسید منیزیم پرداختند. نتایج آنها نشان داد که با افزوده شدن نانوذرات به سیال پایه رفتار نانوسيال نیوتونی می- باشد.

پژوهش‌های زیادی [۸-۹] برروی ویسکوزیته دینامیکی نانوسيالات مختلف انجام شده است. اما در این میان، با توجه به بررسی‌های انجام شده پژوهش‌های اندکی برروی نانوسيالات پایه روغنی انجام شده است. از این رو بررسی ویسکوزیته دینامیکی نانوسيال نانولوله کربنی چند جداره/ اکسید روی- روغن موتور، هدف پژوهش حاضر قرار گرفته است.

۲- آماده‌سازی نانوسيال

در این پژوهش نانوسيال نانولوله کربنی چند جداره/ اکسید روی- روغن موتور با استفاده از روش دو مرحله‌ای در کسرهای حجمی مختلف تولید شده است. اندازه متوسط نانوذرات مورد استفاده ۳۰ نانومتر بوده است. درصد استفاده از نانوذرات اکسید روی ۸۵٪ و نانولوله کربنی چند جداره ۱۵٪ می- باشد. پس از اینکه نانوذرات در سیال پایه ریخته شدند، به مدت ۱ ساعت توسط همزن مغناطیسی همگن سازی شده سپس به مدت ۲ ساعت توسط هموژنایزر آلتراسونیک مراحل همگن سازی ادامه پیدا کرد تا نانوسيال پایدار شود. جهت پایدار سازی نیز از هموژنایزر آلتراسونیک ۱۲۰۰ وات ساخت شرکت تاب سونیک، ایران بهره گرفته شده است.



شکل ۱ تصویر TEM نانوذرات نانولوله کربنی چند جداره

۳- اندازه‌گیری ویسکوزیته دینامیکی

در این پژوهش جهت اندازه‌گیری ویسکوزیته دینامیکی از ویسکومتر بروکفیلد ساخت کشور آمریکا مدل CAP2000+ استفاده شده است. این ویسکومتر دارای بازه‌ی اندازه‌گیری نخ برش کم با هندسه‌ی مخروط و صفحه می‌باشد. این دستگاه قادر به تنظیم دمای سیال می‌باشد به طوریکه با تعیین دما پس از مدت زمان کوتاهی دمای سیال به دمای دلخواه رسیده و قادر به اندازه‌گیری ویسکوزیته سیال در دمای مورد نظر می‌باشیم. محدوده‌ی دمایی کارکرد ویسکومتر بین ۵ تا ۷۵ درجه سانتی‌گراد می‌باشد. همچنین سرعت چرخش اسپیندل می‌تواند از ۵ تا ۱۰۰۰ دور بر دقیقه متغیر باشد. با تغییر سرعت چرخش اسپیندل نخ برش سیال تغییر کرده و تغییرات ویسکوزیته‌ی سیال با تغییر نخ برش قابل اندازه‌گیری است. ویسکوزیته

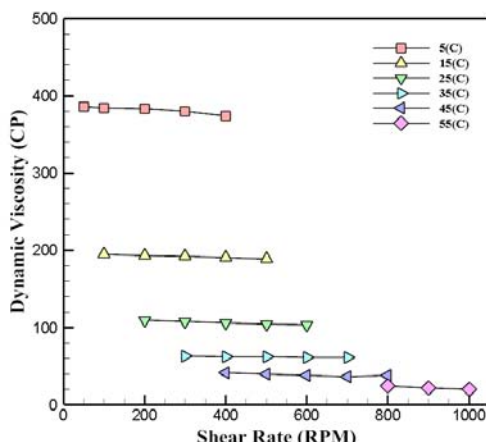
متفاوتی دارند. رفتار سیال در برابر نرخ برش اعمال شده، یکی از مهمترین عوامل در تعیین نوع سیال می‌باشد. سیالات به دو دسته نیوتونی و غیرنیوتونی دسته‌بندی می‌شوند. این دسته بندی با توجه به تغییر نرخ برش در سیال انجام می‌شود. سیالات نیوتونی دارای ویژگی‌های از قبیل:

- ۱- ویسکوزیتی فقط به دما وابسته است و با تغییر نرخ برش ثابت می‌ماند.
 - ۲- نرخ برش با تنفس برشی متناسب است.
 - ۳- ویسکوزیتی حاصل تقسیم تنفس برشی به نرخ برش می‌باشد.
- رابطه ویسکوزیتی سیالات به صورت زیر می‌باشد.

$$\mu = \frac{\tau}{\gamma} \quad (1)$$

که در رابطه بالا μ ویسکوزیتی، τ تنفس برشی و γ نرخ برش می‌باشد. با توجه به رابطه مشاهده می‌شود که ویسکوزیتی با نرخ برش رابطه معکوس دارد. نرخ برش تعداد دفعاتی است که لایه‌های سیال در واحد زمان برش داده می‌شود.

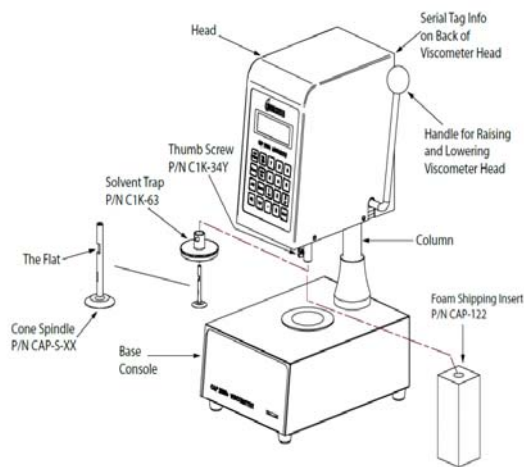
در پژوهش حاضر، ویسکوزیتی دینامیکی نانوپلوله کربنی چند جداره/ اکسید روی- روغن موتور در نرخ‌های برش مختلف اندازه‌گیری شده تا رفتار نانوپلوله مورد بررسی با تغییرات نرخ برش مشخص شود. در شکل ۵ ویسکوزیتی دینامیکی سیال پایه (روغن موتور) در دماهای مختلف و نرخ‌های برش مختلف نشان داده است. همان‌طور که مشاهده می‌شود با افزایش نرخ برش در یک دمای معین، ویسکوزیتی دینامیکی تغییری نمی‌یابد که این امر حاکی از نیوتونی بودن رفتار سیال پایه می‌باشد.



شکل ۵ ویسکوزیتی دینامیکی بر حسب نرخ برش در دماهای مختلف سیال پایه

در شکل ۶ نیز نمودار ویسکوزیتی دینامیکی نانوپلوله کربنی در کسر حجمی ۰/۱۲۵ درصد در دماهای مختلف و نرخ‌های برش مختلف نشان داده شده است. با توجه به شکل مشاهده می‌شود که با افودن نانوذرات و افزایش نرخ برش، ویسکوزیتی دینامیکی در دماهای ۵، ۲۵، ۳۵، ۴۵ و ۵۵ درجه سانتی‌گراد کاهش چشمگیری پیدا می‌کند. اما در دماهای ۱۵ و ۲۵ درجه سانتی‌گراد تقریباً ویسکوزیتی ثابت باقی می‌ماند.

اندازه‌گیری شده می‌تواند بر حسب سانتی پوز (CP)، پوز (P)، میلی پاسکال (Pa.s) یا پاسکال ثانیه (Pa.s)، به صورت دلخواه نمایش داده شود. نمایی از اجزای ویسکومتر CAP2000 در شکل ۴ نشان داده شده است.



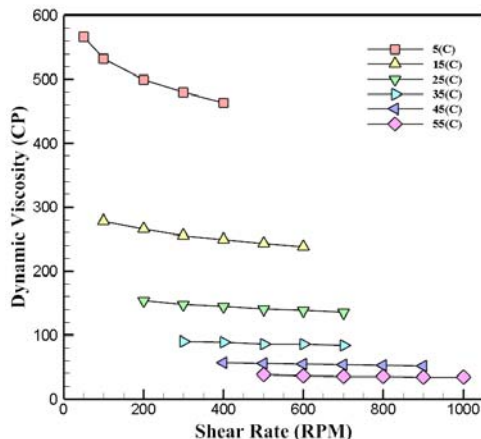
شکل ۴ نمای شماتیک ویسکومتر + CAP2000

نکته‌ای ضروری که در هنگام اندازه‌گیری ویسکوزیتی باید رعایت شود این است که مقدار سیال ریخته شده روی صفحه‌ی زیر اسپیندل باید به اندازه‌ی کافی باشد. زیاد یا کم بودن مقدار سیال در اندازه‌گیری ویسکوزیتی دینامیکی تاثیرگذار خواهد بود. قابل توجه است که در پژوهش حاضر نکته فوق به دقت رعایت شده تا مقدادر ویسکوزیتی اندازه‌گیری شده توسط دستگاه دارای کمترین میزان خطأ باشد. مسئله‌ی حائز اهمیت دیگر این است که تغییرات ویسکوزیتی دینامیکی با دما تا زمانی قابل اندازه‌گیری می‌باشد که مقدار گشتاور زاویه‌ای ویسکومتر برای نانوپلوله مورد مطالعه بین ۱۰۰٪ تا ۱۰٪ باشد. با افزایش دما ویسکوزیتی نانوپلوله کاهش یافته و متناسب با آن گشتاور زاویه‌ای ویسکومتر کاهش می‌یابد. اگر گشتاور زاویه‌ای کمتر از ۱۰٪ درصد شود، ویسکومتر قادر به اندازه‌گیری ویسکوزیتی نانوپلوله نمی‌باشد و ویسکوزیتی نشان داده شده مقادیر صحیحی را نشان نمی‌دهد. آزمایش‌های مربوط به اندازه‌گیری ویسکوزیتی دینامیکی حداقل سه مرتبه انجام شده است و در صورتی که بازه داده‌های اندازه‌گیری شده نزدیک به یکدیگر بوده باشند، عدد نهایی به صورت میانگین آن‌ها گزارش شده است. در صورتی که خطاهای مختلف اندازه‌گیری و محیطی سبب ایجاد اختلاف در یکی از این داده‌ها نسبت به سایرین شده باشد، پس از رفع خطأ، آزمایش مربوطه پنج مرتبه دیگر تکرار شده و عدد نهایی با توجه به میانگین آن گزارش شده است.

۴- نتایج و بحث

همان‌طور که پیش‌تر گفته شد، نرخ برش یکی از پارامترهایی است که بر ویسکوزیتی دینامیکی نانوپلوله تاثیرگذار می‌باشد. هنگامی که یکی از لایه‌های سیال نسبت به لایه‌ی مجاورش دارای حرکت نسبی باشد، انتقال اندازه‌حرکت مولکولی باعث انتقال اندازه‌حرکت از یک قسمت به قسمت دیگر می‌شود. اما در مقابل این حرکت مقاومتی وجود دارد، به طوری که برای حرکت سیال نیاز به اعمال نیرو یا همان تنفس برشی می‌باشد. سیالات دارای ویسکوزیتی بالا نیاز به نیروی برشی بیشتری نسبت به سیالات دارای ویسکوزیتی پایین می‌باشند. نانوپلوله در مقابل نیروی برشی رفتارهای

سانتی گراد، به دلیل کاهش ویسکوزیته دینامیکی با افزایش نرخ برش غیرنیوتی بوده و در دماهای ۲۵، ۳۵، ۴۵ و ۵۵ درجه سانتی گراد رفتار این نانویاپل نیوتی می باشد. کاهش ویسکوزیته با افزایش نرخ برش به دلیل کاهش نانو خوش ها می باشد. به عبارتی با اعمال نیروی برشی نانو خوش ها ایجاد شده در سیال برش داده شده و از بین می روند. تعداد نانو خوش ها شکسته شده با میزان نیروی برشی اعمال شده به سیال مناسب بوده و هرچه تعداد نانو خوش ها شکسته شده بیشتر باشد، ویسکوزیته کاهش پیشتری خواهد داشت.



شکل ۸ ویسکوزیته دینامیکی بر حسب نرخ برش در دماهای مختلف برای کسر حجمی ۱ درصد

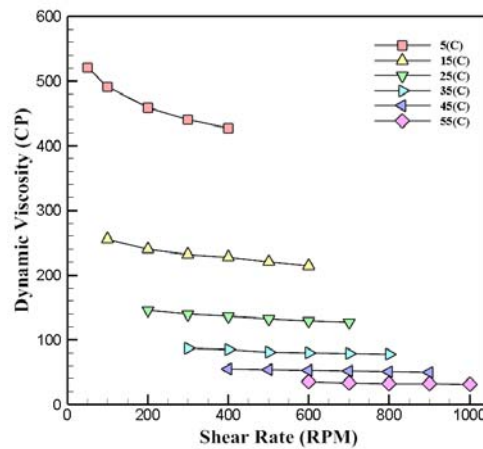
۵- نتیجه گیری

در این پژوهش به بررسی اثر نرخ برش بر ویسکوزیته دینامیکی نانویاپل نانولوله کربنی چند جداره/ اکسید روی- روغن موتور پرداخته شده است. نتایج حاکی از آن است که:

- ۱ رفتار سیال پایه در دماهای مختلف نیوتی می باشد.
- ۲ رفتار نانویاپل مورد مطالعه در تمامی کسرهای حجمی و دماهای ۵ و ۱۵ درجه سانتی گراد غیر نیوتی می باشد.
- ۳ رفتار نانویاپل مورد مطالعه در تمامی کسرهای حجمی و دماهای ۲۵، ۳۵، ۴۵ و ۵۵ درجه سانتی گراد غیر نیوتی می باشد.

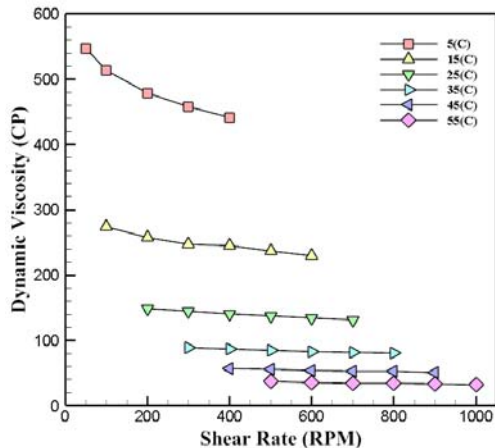
۶- مراجع

- [۱] W. Yu, H. Xie, L. Chen, Y. Li, Investigation of thermal conductivity and viscosity of ethylene glycol based ZnO nanofluid, *Thermochimica Acta*, Vol. 491, No. 1, pp. 92-96, 2009 .
- [۲] H. Li, L. Wang, Y. He, Y. Hu, J. Zhu, B. Jiang, Experimental investigation of thermal conductivity and viscosity of ethylene glycol based ZnO nanofluids, *Applied Thermal Engineering*, Vol. 88, pp. 363-368, 2015 .
- [۳] M. Kole, T. Dey, Viscosity of alumina nanoparticles dispersed in car engine coolant, *Experimental Thermal and Fluid Science*, Vol. 34, No. 6, pp. 677-683, 2010 .
- [۴] S. Bobbo, L. Fedele, A. Benetti, L. Colla, M. Fabrizio, C. Pagura, S. Barison, Viscosity of water based SWCNH and TiO₂ nanofluids, *Experimental Thermal and Fluid Science*, Vol. 36, pp. 65-71, 2012 .
- [۵] M. H. Esfe, A. A. A. Arani, M. Rezaie, W.-M. Yan, A. Karimpour, Experimental determination of thermal conductivity and dynamic viscosity of Ag-MgO/water hybrid nanofluid, *International Communications in Heat and Mass Transfer*, Vol. 66, pp. 189-195, ۲۰۱۵ .



شکل ۶ ویسکوزیته دینامیکی بر حسب نرخ برش در دماهای مختلف برای کسر حجمی ۰/۱۲۵ درصد

در شکل ۷ ویسکوزیته دینامیکی نانویاپل مورد بررسی در کسر حجمی ۰/۵ درصد و در دماها و نرخ های برش مختلف نشان داده شده است. با اندکی دقت در شکل، مشاهده می شود که روند نمودار مانند نمودار شکل ۶ می باشد با این تفاوت که، شبکه کاهش ویسکوزیته دینامیکی در دماهای ۵ و ۱۵ درجه سانتی گراد بیشتر شده است. به عبارتی دیگر با افزایش کسر حجمی نانوذرات، افزایش نرخ برش تاثیر بیشتری بر ویسکوزیته دینامیکی نانویاپل مورد مطالعه خواهد گذاشت.



شکل ۷ ویسکوزیته دینامیکی بر حسب نرخ برش در دماهای مختلف برای کسر حجمی ۰/۵ درصد

در شکل ۸ ویسکوزیته دینامیکی نانویاپل مورد مطالعه در کسر حجمی ۱ درصد و در دماها و نرخ های برش مختلف نشان داده شده است. در مقایسه با شکل ۷ روند نمودارها مشابه بوده و تفاوتی که وجود دارد این است که به نسب شکل ۷، شبکه کاهش ویسکوزیته دینامیکی در دماهای ۵ و ۱۵ درجه سانتی گراد بیشتر شده است. با توجه به نمودارهای نشان داده شده می توان نتیجه گرفته که رفتار نانویاپل نانولوله کربنی چند جداره/ اکسید روی- روغن موتور در تمامی کسرهای حجمی مورد بررسی و در دماهای ۵ و ۱۵ درجه

- [۱] T. X. Phuoc, M. Massoudi, R.-H. Chen, Viscosity and thermal conductivity of nanofluids containing multi-walled carbon nanotubes stabilized by chitosan, *International Journal of Thermal Sciences*, Vol. 50, No. 1, pp. 12-18, 2011 .
- [۲] N. Singh, G. Chand, S. Kanagaraj, Investigation of thermal conductivity and viscosity of carbon nanotubes-ethylene glycol nanofluids, *Heat Transfer Engineering*, Vol. 33, No. 9, pp. 821-827, 2012 .
- [۳] M. H. Esfe, S. Saedodin, A. Asadi, A. Karimipour, Thermal conductivity and viscosity of Mg (OH) 2-ethylene glycol nanofluids, *Journal of Thermal Analysis and Calorimetry*, Vol. 120, No. 2, pp. 1145-1149, 2015 .
- [۴] N. Ahmed, L. G. Asirvatham, S. Wongwises, Effect of volume concentration and temperature on viscosity and surface tension of graphene-water nanofluid for heat transfer applications, *Journal of Thermal Analysis and Calorimetry*, Vol. 123, No. 2, pp. 1399-1409, 2016 .
- [۵] A. Beheshti, M. Shanbedi, S. Z. Heris, Heat transfer and rheological properties of transformer oil-oxidized MWCNT nanofluid, *Journal of Thermal Analysis and Calorimetry*, Vol. 118, No. 3, pp. 1451-1460, 2014 .
- [۶] H. Chen, Y. Ding, Y. He, C. Tan, Rheological behaviour of ethylene glycol based titania nanofluids, *Chemical Physics Letters*, Vol. 444 ,No. 4, pp. 333-337, 2007 .
- [۷] H. Chen, Y. Ding, C. Tan, Rheological behaviour of nanofluids, *New journal of physics*, Vol. 9, No. 10, pp. 367, 2007 .
- [۸] N. Dutt, T. Ghosh, D. Prasad, K. Rani, D. Viswanath, Viscosity of Liquids Theory, Estimation ,Experiment, and Data ,*Springer*, Vol. 33, pp. 444-553, 2007 .
- [۹] M. H. Esfe, S. Saedodin, Turbulent forced convection heat transfer and thermophysical properties of MgO-water nanofluid with consideration of different nanoparticles diameter, an empirical study, *Journal of Thermal Analysis and Calorimetry*, Vol. 119, No. 2, pp. 1205-1213, 2015 .
- [۱۰] M. H. Esfe, S. Saedodin, N. Sina, M. Afrand, S. Rostami, Designing an artificial neural network to predict thermal conductivity and dynamic viscosity of ferromagnetic nanofluid, *International Communications in Heat and Mass Transfer*, Vol. 68, pp. 50-57, 2015 .
- [۱۱] M. H. Esfe, S. Saedodin, S. Wongwises, D. Toghraie, An experimental study on the effect of diameter on thermal conductivity and dynamic viscosity of Fe/water nanofluids, *Journal of Thermal Analysis and Calorimetry*, Vol. 119, No. 3, pp. 1817-1824, 2015 .
- [۱۲] I. M. Krieger, T. J. Dougherty, A mechanism for non-Newtonian flow in suspensions of rigid spheres, *Transactions of The Society of Rheology-۱۹۵۹* ,Vol. 3, No. 1, pp. 137-152, 1959 .
- [۱۳] S. Murshed, K. Leong, C. Yang, Investigations of thermal conductivity and viscosity of nanofluids, *International Journal of Thermal Sciences*, Vol. 47, No. 5, pp. 560-568, 2008 .